

NILU  
TEKNISK NOTAT NR 6/80  
REFERANSE: 21180  
DATO: APRIL 1980

OVERVAKINGSSYSTEM FOR  
LUFTFORURENSNINGER

AV  
KARL J. EIDSVIK

NORSK INSTITUTT FOR LUFTFORSKNING  
POSTBOKS 130, 2001 LILLESTRØM  
NORGE

ISBN-82-7247-174-4

INNHALDSFORTEGNELSE

	Side
1 INNLEDNING .....	4
2 BETRAKTNINGSMÅTE .....	5
2.1 Kildeestimering .....	5
2.2 Estimering av luftstrøm .....	5
2.3 Diffusjonsmodell .....	7
2.4 Forurensningsmålinger .....	7
2.5 Estimering av forurensninger .....	7
2.6 Tilbakekobling .....	8
3 BEMERKNINGER .....	8
4 REFERANSER .....	9

OVERVÅKINGSSYSTEM FOR  
LUFTFORURENSNINGER

1 INNLEDNING

Det første og stadig tilbakevendende spørsmål i overvåking av luftforurensninger, er hvordan et overvåkingssystem bør konstrueres eller forandres (Visali et.al, 1). Jeg vil skissere en betraktningssmåte som kan gi kvantitative svar på dette og andre spørsmål i "overvåking".

For å konkretisere, tenker vi oss at formålet er å estimere sannsynligheten for at konsentrasjonen av en eller annen forurensningskomponent,  $c_i$ ;  $i = 1, 2, \dots, N$ , skal overskride grenseverdier i bestemte områder i rommet,  $\underline{r}$ , og tiden,  $t$ . Når overvåkingssystemet skal konstrueres, dataene tolkes og svarene estimeres, er det nødvendig med modeller. Sammenheng mellom forskjellige modeller og dataene gis ved å betrakte "forurensning i luft" som en stokastisk prosess illustrert i figur 1 (Balchen 2, Eidsvik 3).

Den eneste tilgjengelige informasjonen om det aktuelle (virkelige), stokastiske forurensningsfeltet,  $\underline{c}(\underline{r}, t)$ , er målinger av få forurensningskomponenter,  $c_i^*$ ;  $i = 1, 2, \dots \ll N$ , i få målesteder  $(\underline{r}_k, t)$ ;  $k = 1, 2, \dots, M_c$  (øvre sløyfe i figur 1). Vi ønsker imidlertid informasjon om det virkelige forurensningsfeltets tilstand også andre steder enn i målestedene.

Dette estimeres ved hjelp av modeller som skissert i figur 1's nedre sløyfe. Når estimerte (beregnete, varslede) utslipp transporteres, spres, transformeres og utfelles etter kjente modeller for diffusjon (Model Process), kan estimat for det forventede forurensningsfeltet,  $\hat{\underline{c}}(\underline{r}, t)$ , beregnes alle steder. Selv de beste modeller vil imidlertid gi betydelige, systematiske varslingsfeil over hele området.

Koblingen mellom varslede, midlere og målte verdier til høyre i figur 1 korrigerer for denne modellfeilen.

Skissen gir mulighet til å utnytte det beste både fra de tilgjengelige data og fra fysikalske og statistiske modeller for alle formål. Vi vil i det følgende beskrive skissen mer inngående. Såvidt vites, er ikke betraktningsmåten tidligere anvendt på forurensning i luft.

## 2 BETRAKTNINGSMÅTE

### 2.1 Kildeestimering

Utslipet  $Q$  er årsaken til forurensninger. Vi forutsetter imidlertid her at optimale varslingsmetoder for utslippene finnes.

### 2.2 Estimering av luftstrøm

Et stort bidrag til varslingsfeil for forurensning har sannsynligvis sin årsak i estimeringsfeil av aktuell luftstrøm,  $\underline{u}(\underline{r}, t)$  (spredningsparametre og vindretning). Det er derfor viktig å minimalisere denne feilen. Siden  $\underline{u}(\underline{r}, t)$  er et stokastisk, vektorielt, firedimensjonalt felt, er dette prinsippielt en "umulig" oppgave. Samtidige observasjoner,  $\underline{u}^*(\underline{r}_k, t)$ ;  $k = 1, 2, \dots, M_u$ , kan imidlertid kombineres på optimal måte etter:

$$\hat{\underline{u}}(\underline{r}_0, t) = \sum_{k=1}^{M_u} \phi^u(\underline{r}_0, \underline{r}_k) \underline{u}^*(\underline{r}_k, t) \quad (1)$$

Her betyr  $\hat{\underline{u}}(\underline{r}_0, t)$  et varsel for aktuelt felt og også et estimat for forventet felt.  $\phi^u(\underline{r}_0, \underline{r}_k)$  kan bestemmes slik at forskjellige fysikalske betingelser oppfylles (Goodin et.al, 4).

Uten fysikalske betingelser finnes  $\phi^u(\underline{r}_0, \underline{r}_k)$  fra lignings-systemet (Eidsvik, 5):

$$\sum_{i=1}^{M_u} \phi_i^u [D_u(\underline{r}_k - \underline{r}_i) - \delta_{ik} \lambda^2] - \phi_{M_u+1} = D(\underline{r}_0 - \underline{r}_k) \quad (2)$$

$$\sum_{i=1}^{M_u} \phi_i = 1$$

Her betyr  $D_u(\underline{r}_k - \underline{r}_i)$  en normalisert strukturfunksjon for  $\underline{u}$ -feltet, og  $\lambda^2$  en normalisert målefeil. Dette settet av vekt-funksjoner gir minimum normalisert varslingsfeil,  $R_u^2$ . Om vi, for enkelhets skyld, tenker oss målestasjonene plassert med lik innbyrdes avstand på en sirkel med radius  $r$ , er varslingsfeilen i sentrum av sirkelen (5):

$$R_u^2(\lambda, M_u, r) = R_u^2(0, M_u, r) + \frac{1}{M_u} \lambda^2 \quad (3)$$

$$R_u^2(0, M_u, r) = \begin{cases} 2D_u(r) & ; M_u=1 \\ 2D_u(r) - \frac{1}{2}D_u(2r) & ; M_u=2 \\ 2D_u(r) - \frac{2}{3}D_u(\sqrt{3}r) & ; M_u=3 \\ 2D_u(r) - \frac{1}{4}[2D_u(\sqrt{2}r) + D_u(2r)] & ; M_u=4 \end{cases}$$

Avhengig av atmosfærens struktur,  $D_u$ , og målefeilen,  $\lambda$ , vil varslingsfeilen bli mindre med økende antall målestasjoner. I den fri atmosfæren synes den største gevinsten å være oppnådd allerede ved få målestasjoner (5). Denne metoden kan altså brukes for å estimere "optimal" type, antall og plassering av meteorologiske målestasjoner.

### 2.3 Diffusionsmodell

Når utslippene og atmosfæriske felter er varslet, gir diffusjonsmodellene (Model Process i figur 1), en prognose for forventet forurensningskonsentrasjonen i hele overvåkingsområdet,  $\hat{c}(\underline{r}, t)$ . Forskjellige diffusjonsmodeller er drøftet i (6).

Forskjellen mellom aktuelt,  $\underline{c}$ , og varslet, forventet forurensningsfelt,  $\hat{c}$ , kalles  $\varepsilon^P(\underline{r}, t)$  slik at

$$\underline{c}(\underline{r}, t) = \hat{c}(\underline{r}, t) + \varepsilon^P(\underline{r}, t) \quad (4)$$

Måleoppsettet og varslingsmetodene for  $\underline{Q}$  og  $\underline{u}$  og diffusjonsmodellene bør konstrueres slik at varslingsfeilen,  $\varepsilon^P(\underline{r}, t)$ , blir rimelig liten. Selv de beste metoder vil imidlertid gi et betydelig, storskala feilfelt.

### 2.4 Forurensningsmålinger

For enkelhets skyld antas her målefeilen for forurensning å være additiv, slik at sammenhengen mellom aktuelle verdier,  $\underline{c}$ , og målte,  $\underline{c}^*$ , er

$$\underline{c}^*(\underline{r}_k, t) = \underline{c}(\underline{r}_k, t) + \varepsilon^*(\underline{r}_k, t) \quad (5)$$

i målestedene,  $\underline{r} = \underline{r}_k$ .

### 2.5 Estimering av forurensninger

Kombinasjon av ligning (4) og (5) gir nå muligheten til å korrigere modellberegningene etter forurensningsdataene (eller omvendt):

$$\underline{c}^*(\underline{r}_k, t) - \hat{c}(\underline{r}_k, t) = \varepsilon(\underline{r}_k, t) \quad (6)$$

$$\varepsilon^P(\underline{r}_k, t) = \varepsilon(\underline{r}_k, t) - \varepsilon^*(\underline{r}_k, t) \quad (7)$$

Ligning (6) gir mulighet til realisasjoner av  $\underline{c}(\underline{r}_k, t)$ , slik at en strukturfunksjon,  $D_\varepsilon(\underline{r}_i - \underline{r}_k)$ , for dette feltet kan estimeres. Når så måle metodens feil,  $\underline{\varepsilon}^*(\underline{r}_k, t)$  er kjent statistisk, kan prinsipielt det mest nøyaktige feilfeltet,  $\hat{\underline{\varepsilon}}^D(\underline{r}, t)$  estimeres alle steder ved de samme metoder som beskrevet under avsnitt (2.2). Den aktuelle tilstanden av forurensning varsles da optimalt som

$$\hat{\underline{c}}(\underline{r}, t) = \hat{\underline{c}}(\underline{r}, t) + \hat{\underline{\varepsilon}}^D(\underline{r}, t) \quad (8)$$

med konfidensintervall gitt ved variansen av  $\hat{\underline{\varepsilon}}^D(\underline{r}, t)$ . Dvs.: Foruten å ha beregnet de mest sannsynlige verdier for forurensning i ethvert punkt, kan også sjansen for overskridelse av grenseverdier beregnes alle steder (om ønskelig; i sann tid).

## 2.6 Tilbakekobling

Da rom og tidsvariasjoner av  $\underline{c}(\underline{r}, t)$  - feltet inneholder informasjon om aktuelle forurensningskilder og atmosfæriske felter (f.eks. vindretning), vil sannsynligvis denne informasjonen forbedre varslingsnøyaktigheten for  $\underline{c}(\underline{r}, t)$  vesentlig. På lengre sikt vil optimalregulering, informasjonsteori og mønster-gjenkjenning bli nyttiggjort i en tilbakekoblingsløype fra  $\underline{c}^*(\underline{r}_k, t)$  til varslingsboksen i figur 1.

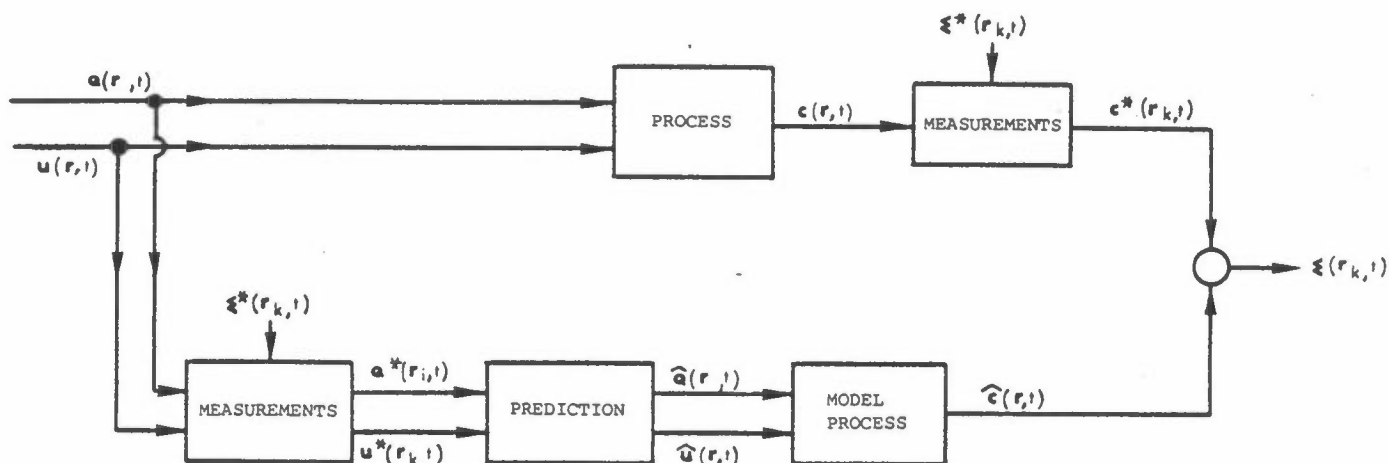
## 3 BEMERKNINGER

Overvåking av stokastiske, vektorielle, firedimensjonale felter involverer en uendelighet av forskjellige aspekter. Jeg har illustrert noen få, uvanlige i vårt faglige miljø, som gir mulighet for å kombinere "det beste" fra tradisjonelle aspekter.

Ved å estimere en integrert varslingsfeil for forurensning,  $\int R_\varepsilon^2$ , i et mangedimensjonalt rom med overvåkingssystemets parametre som koordinater (måle metoder, antall og plassering av målestasjoner, varslingsmetoder og diffusjonsmodell), kan vi prinsipielt estimere hvorhen i faserommet en bør gå for å oppnå det beste overvåkingssystemet for minst mulig økonomisk innsats.



- (4) Goodin, W.R.  
Gregory, J.  
Seinfeld, J.H. "An objective Analysis Technique for Constructing Three-Dimensional Urban Wind Fields". J. of Applied Meteorology, 19 1980, pp 98-108.
- (5) Eidsvik, K.J. On near optimal interpolation and extrapolation of atmospheric variable using a few measurement stations. Kjeller 1978. (Forsvarets forskningsinstitutt. Teknisk notat VM-295.)
- (6) NORDFORSK Luftkvalitetsmodeller. Sluttrapport Nordforsk prosjektet Mesoskala. Spredningsmodeller. Helsingfors 1979. (Miljövårdssekretariatet. Publikation 1979:1.)



Figur 1: Skjematisk illustrasjon av den stokastiske prosessen: "Forurensning i luft". Den virkelige prosessen, der forurensningene  $\underline{Q}(\underline{r}, t)$  slippes til de atmosfæriske feltene  $\underline{u}(\underline{r}, t)$  og produserer forurensningsfeltet  $\underline{c}(\underline{r}, t)$  er ukjent. For å vite noe om denne prosessen, måles noen få forurensningskomponenter  $\underline{c}^*(\underline{r}_k, t)$  i målestedene  $\underline{r}_k$ . Målestøyen er  $\underline{\varepsilon}^*(\underline{r}_k, t)$ . Tolkning av dataene og forståelse av prosessen betinger modeller som illustrert i den nedre sløyfen i figuren. Ved hjelp av meteorologiske målinger  $\underline{u}^*(\underline{r}_k, t)$  varsles aktuelle og forventede atmosfæriske felter optimalt som  $\underline{\hat{u}}(\underline{r}, t)$ . Disse og varslede utslipp  $\underline{\hat{Q}}(\underline{r}, t)$ , er input til spredningsmodeller med output varslet, forventet forurensningsfeltet  $\underline{\hat{c}}(\underline{r}, t)$ .

**NILU**

TLF. (02) 71 41 70

**NORSK INSTITUTT FOR LUFTFORSKNING**(NORGES TEKNISK-NATURVITENSKAPELIGE FORSKNINGSRÅD)  
POSTBOKS 130, 2001 LILLESTRØM  
ELVEGT. 52.

RAPPORTTYPE Teknisk notat	RAPPORTNR. 6/80	ISBN--82-7247-174-4
DATO April 1980	ANSV.SIGN. B. Ottar <i>B. Ottar</i>	ANT.SIDER 11
TITTEL Overvåkingssystem for luftforurensninger		PROSJEKTLEDER O.E. Skogvold
FORFATTER(E) Karl J. Eidsvik		NILU PROSJEKT NR 21180
		TILGJENGELIGHET ** A
		OPPDRAUGSGIVERS REF.
OPPDRAUGSGIVER Statens forurensningstilsyn		
3 STIKKORD (å maks.20 anslag) Forurensning   Stokastiske filter   modeller		
REFERAT (maks. 300 anslag, 5-10 linjer) En skisse av hvordan et overvåkingssystem for luftforurensninger bør konstrueres, er tegnet.		
TITLE		
ABSTRACT (max. 300 characters, 5-10 lines)		

\*\*Kategorier: Åpen - kan bestilles fra NILU      A  
Må bestilles gjennom oppdragsgiver      B  
Kan ikke utleveres      C